

I-220 調和 SV 波入射に対する平行多層地盤の応答

広島大学工学部 正員 佐藤誠

1. はじめに

最近の耐震工学の発展により、従来より合理的な根柢をもつて、たとえば道路橋示方書、耐震編^(昭55年5月)など新しい耐震設計基準がまとめられ方向にある。しかし多層地盤に対しての地震時挙動については、その多くが地表に垂直な変位成分を生じない場合のものであり、地震の重要な成分である SV 波が任意の角度で入射する場合のように、水平動のみならず上下動を含む応答解析例は少ない⁽³⁾。ここでは Harkell⁽³⁾ あるいは Brekhovskikh⁽⁴⁾ が用いたように、層境界の粒子速度と応力成分を各層の物理特性と入射 SV 波の入射角および調和振動数で定まる伝達行列を用いて関係づけ、一般的な多層問題の応答解析を行ない、文献(1)の地盤例について、水平動および上下動についての固有周期と応答倍率の検討を行なった。

2. 解析方法

図-1 に示すような平行多層地盤を考え、境界(1)を地表とし、第 $n+1$ 層を基盤とする。このとき第 i 層とはさむ境界(1)-(i)と(i)-(n)における粒子速度 V_x , V_z と応力成分 σ_x , T_{xz} の関係は、波动方程式を満足するボテンシャルと媒質変数とし、調和項を省くと以下のようになる。

(1) の係数行列の要素 a_{ij} は第 i 層の値に添字 i を付ける

$$\begin{bmatrix} V_x^{(1)} \\ V_z^{(1)} \\ \sigma_x^{(1)} \\ T_{xz}^{(1)} \end{bmatrix} = [A]_1 \begin{bmatrix} V_x^{(i-1)} \\ V_z^{(i-1)} \\ \sigma_x^{(i-1)} \\ T_{xz}^{(i-1)} \end{bmatrix} - (1)$$

ると、 $a_{11} = 2 \sin^2 \theta_e \cos P_e + \cos 2\theta_e \cos Q_e$,

$$a_{12} = i(\tan \theta_e \cos 2\theta_e \sin P_e - \sin 2\theta_e \sin Q_e),$$

$$a_{13} = A_e \theta_e (\cos Q_e - \cos P_e)/C_e, a_{14} = -i(\tan \theta_e \sin 2\theta_e \sin P_e + \cos 2\theta_e \sin Q_e)/C_e,$$

$$a_{21} = i((\sin 2\theta_e \sin P_e / T_e^2) - \cos 2\theta_e \tan \theta_e \sin Q_e),$$

$$a_{22} = \cos 2\theta_e \cos P_e + 2 \sin^2 \theta_e \cos Q_e, a_{23} = -i(\cos Q_e \sin P_e + \tan \theta_e \sin Q_e \sin \theta_e)/Y_e, a_{24} = a_{13},$$

$$a_{31} = 2\theta_e \sin \theta_e \cos 2\theta_e (\cos Q_e - \cos P_e), a_{32} = -iZ_e \{(T_e \cos^2 2\theta_e \sin P_e / C_e) + 2 \sin^2 \theta_e \sin Q_e \sin \theta_e\}, a_{33} = a_{22}, a_{34} = a_{12},$$

$$a_{41} = -iZ_e \{(4 \cos \theta_e \sin^2 \theta_e \sin P_e / T_e) + (\cos^2 \theta_e \sin Q_e / C_e)\}, a_{42} = a_{31}, a_{43} = a_{21}, a_{44} = a_{11}$$

であり、 $P_e = \omega \theta_e \cos \theta_e / C_e$, $Q_e = \omega \theta_e \cos \theta_e / C_e$, $T_e = C_e / \theta_e$, $Z_e = \rho_e C_e$, $Y_e = \rho_e C_e Z_e^{-1}$ である。また ρ_e は密度、 C_e , C_r はそれぞれ継波と横波の速度、 θ_e , ϕ_e は継波、横波の Snell の法則を満足する入射、反射角、 ω は基盤へ入射する波の固有振動数である。さらに $[a]$ は各層毎に継波、横波の入射、反射角が臨界角を超えるかどうかの判定を行ない、超えた場合には日あるいは月と複素数として双曲線関数を導入するところである。

次に各境界の境界条件を考慮し、境界(1)と(n)の各成分を $\{f^{(1)}\}$, $\{f^{(n)}\}$ で代表すると以下のように書ける。

$$\{f^{(n)}\} = [A]_m [A]_{m-1} \cdots [A_2] \{f^{(1)}\}. \quad (2)$$

$[A]$ の要素 A_{ij} は複素数ではあるが、層数に無関係に常に 4 行 4 列であり簡単である。いま境界(1)が自由面であり、基盤の層厚が無限大であるとき、第 i 層内の正、負方向に伝播するボテンシャルを継波および横波に対してそれぞれ、 ϕ'_e , ϕ''_e 、および ψ'_e , ψ''_e と書くと(2)は(3)のよう表わせる。

$$\begin{bmatrix} \phi'_{m+1} \\ \psi'_{m+1} \\ \phi''_{m+1} \\ \psi''_{m+1} \end{bmatrix} = [B]_j [C] \begin{bmatrix} \phi'_{m+1} \\ \psi'_{m+1} \\ \phi''_{m+1} \\ \psi''_{m+1} \end{bmatrix}. \quad (3)$$

$$\text{ここで } B_{11} = -\sin \theta_{m+1} / C_{m+1}, B_{12} = \cos \theta_{m+1} / C_{m+1}, B_{21} = -B_{12}, B_{22} = B_{11},$$

$$B_{31} = \rho_{m+1} \cos 2\theta_{m+1}, B_{32} = \rho_{m+1} \sin 2\theta_{m+1}, B_{41} = \rho_{m+1} \sin 2\theta_{m+1} / T_{m+1}^2,$$

$$B_{42} = -B_{31}, B_{m3} = -M A_{m1}, B_{m4} = N A_{m2} (m=1 \sim 4),$$

$$C_{11} = -B_{11}, C_{21} = B_{21}, C_{31} = -B_{31}, C_{41} = B_{41}, C_{12} = B_{12}, C_{22} = -B_{11}, C_{32} = B_{32}$$

$$C_{42} = -B_{42}, M = (\cos \theta_e + \sin \theta_e \tan 2\theta_e) / C_{T2}, N = \{\sin \theta_e + (\cos 2\theta_e / 2) \sin \theta_e\} / C_{T2}^2 \text{ である}.$$

右辺は継波入射および横波入射に対してそれぞれ ϕ'_{m+1} および ψ'_{m+1} のみとなる。(3)から右辺のボテンシャルを基準として左辺が求められるとき、たとえば SV 波入射に対して入射波の振幅は $\bar{V}^{(n)} = i\omega \psi''_{m+1} / C_{Tm+1}$ であ

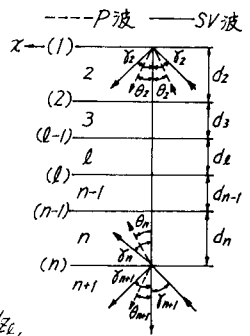


図-1 多層地盤
モデル

1), 一方地表では $V_2^{(1)} = -i\omega M(\psi_2' - \psi_2'')$, $V_2^{(2)} = i\omega N(\psi_2' + \psi_2'')$ であるから容易に各成分の応答倍率が求まる。さらに(2)と用いて各境界の成分 $\{f^{(2)}\}$, ($l=2 \sim m-i$) が求まる。

3. 解析結果と考察

表1に解析に用いた地盤の層性を示す。SV波の基盤への入射角を γ_0 とし、 $\gamma_0=0^\circ$ の場合の応答倍率を横軸を Q_2 として図-1に示す。図-1の例が部分的ピークを示す周期 T_0 と文献で定義された地盤の特性値 T_0 との関係を表-2に示す。

固有周期は T_0 を基準としたものと比較し、重複反射の効果が含まれてから本解析結果は良く一致する場合が多い。しかし1次固有周期は必ずしも卓越周期ではなく、むしろ高次固有周期で現われること

Table 1 Material Properties and Thickness of Layers

Location & T_0 (s)	C_T (m/s)	ρ (t/m^3)	d (m)	v	Location & T_0 (s)	C_T (m/s)	ρ (t/m^3)	d (m)	v
L2) 0.10	333.3	2.1	2.7	0.45	L9) 0.43	118.7	1.9	3.1	0.45
	321.5	2.1	2.3	$\sqrt{\frac{200}{200}}$		200.5	1.9	3.3	$\sqrt{\frac{242.8}{242.8}}$
	398.8	2.1	3.7	$\sqrt{\frac{242.8}{242.8}}$		316.8	2.1	5.9	$\sqrt{\frac{242.8}{242.8}}$
	500	2.1	-	0.40		328.0	2.1	2.3	$\sqrt{\frac{1.95}{1.95}}$
L4) 0.12	165.6	1.4	2.1	0.45	L11) 0.44	257.4	1.8	0.8	$\sqrt{\frac{2.1}{2.1}}$
	207.5	1.9	3.4	$\sqrt{\frac{2.1}{2.1}}$		314.0	2.1	3.0	$\sqrt{\frac{2.1}{2.1}}$
	500	2.1	-	0.40		269.2	1.8	7.7	$\sqrt{\frac{2.1}{2.1}}$
L6) 0.30	150.4	1.4	2.8	0.45	L10) 0.44	500	2.1	-	0.40
	205.5	1.9	3.2	$\sqrt{\frac{0.45}{0.45}}$		164.5	1.4	8.2	0.45
	160.1	1.4	1.4	$\sqrt{\frac{233.3}{233.3}}$		182.0	1.4	6.1	$\sqrt{\frac{205.5}{205.5}}$
	318.5	2.1	4.5	$\sqrt{\frac{2.1}{2.1}}$		316.1	2.1	8.4	$\sqrt{\frac{2.1}{2.1}}$
L8) 0.21	295.3	2.1	1.2	$\sqrt{\frac{2.1}{2.1}}$	L16) 1.17	500	2.1	-	0.40
	328.9	2.1	1.1	$\sqrt{\frac{2.1}{2.1}}$		70.0	1.2	4.3	0.45
	282.0	1.8	3.3	$\sqrt{\frac{2.1}{2.1}}$		170.0	1.7	2.9	$\sqrt{\frac{2.1}{2.1}}$
	500	2.1	-	0.40		70.0	1.2	3.2	$\sqrt{\frac{116.9}{116.9}}$
L9) 0.43	157.7	1.4	3.9	0.45	L17) 1.17	100.0	1.6	8.0	$\sqrt{\frac{1.57}{1.57}}$
	160.2	1.9	2.8	$\sqrt{\frac{1.57}{1.57}}$		170.0	1.7	11.2	$\sqrt{\frac{1.57}{1.57}}$
	196.8	1.9	1.8	$\sqrt{\frac{1.57}{1.57}}$		200.0	1.7	4.6	$\sqrt{\frac{1.57}{1.57}}$
	500	2.1	-	0.40		620	2.1	-	0.40

▼, ▲, ▽, △ are show that the angles of reflected and transmitted P waves are greater than the critical angle on the boundary when $\gamma_0=25^\circ$ and $\gamma_0=30^\circ$ respectively ($\gamma_0=23^\circ$ and $\gamma_0=25^\circ$ with respect to L2).

Table 2 Peak Periods and Dynamic Magnification Factor

Location	T_0 (s)	T_1 (s)	T_0/T_1	T_2 ($T_0/3$)	T_3 ($T_0/5$)	T_4 ($T_0/7$)	$ n _G$	$ n _I$
L2) 0.10	0.09	1.09	0.09	0.031	0.020	0.013	2.8	2.9
L4) 0.12	0.10	1.20	0.083	0.040	0.026	0.017	6.7	6.2
L6) 0.30	0.22	1.36	0.165	0.116	0.064	0.044	4.9	5.3
L8) 0.21	0.18	1.17	0.165	0.069	0.039	0.031	7.4	7.6
L9) 0.43	0.40	1.08	0.400	0.145	0.087	0.062	4.4	4.0
L11) 0.44	0.37	1.19	0.375	0.120	0.066	0.048	5.1	8.3
L16) 1.17	1.024	1.14	1.024	0.380	0.240	0.186	14.2	11.4

が多い。図-2, 3 に基盤面または他の境界で纏波が境界を越える直前、直後のあとに対する水平、垂直方向の応答倍率をそれぞれ例1, 例2

として示した。図-4は基盤と平均化した表層の2層地盤モデルに対する結果である。これらから弾性地盤モデルに限れば以下の二点が考察される。

1) 水平動に因し、固有周期は垂直入射時とほぼ同じであるが卓越周期は高次周期に多いことが多く、2層モデルでは得られない。2) 垂直動に因し、臨界角を越える境界のあたりで、大きな応答倍率が2次固有周期より短い周期で存在する。

3) 垂直動の大きさを応答倍率を持つ周期では一般に水平動の応答倍率は減少するが、両者が比較的大きく共存する場合もある。

1) 日本道路協会: 道路橋示書同解説、アートラベル設計編、昭55年5月、2) 金子・渡辺: 土木学会論文報告集、第209号、pp.1216、1979年9月。

3) Haskell: Bull. Seism. Amer. Vol. 43, pp. 17~34, 1953. 4) Brekhovskikh: Waves in Layered Media, Academic, pp. 61~79, 1960.

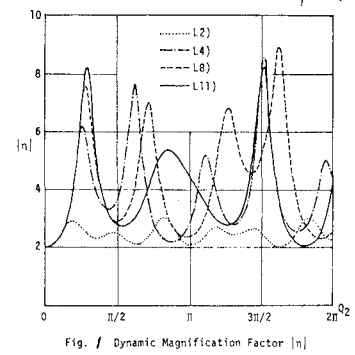


Fig. 1 Dynamic Magnification Factor $|n|_I$

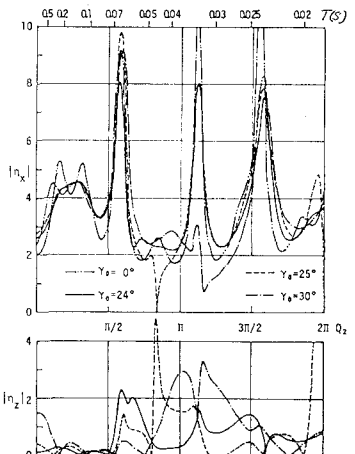


Fig. 2 Dynamic magnification factor $|n_x|$, $|n_z|$ at the surface of L6

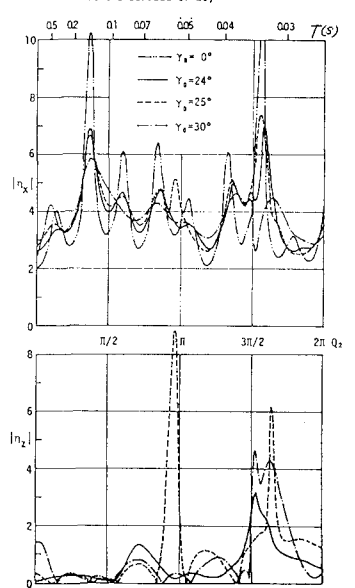


Fig. 3 Dynamic magnification factor $|n_x|$, $|n_z|$ at the surface of L9

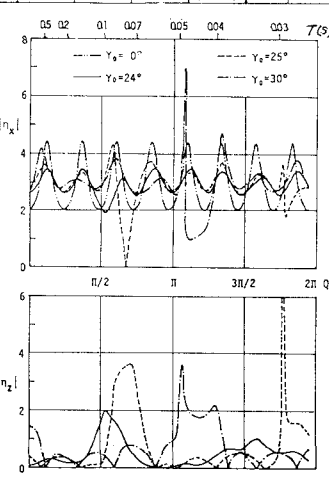


Fig. 4 Dynamic magnification factor $|n_x|$, $|n_z|$ at the surface of two layer model of L9